

# بررسی فورفورال به عنوان بازدارنده خوردگی فولاد در محلول اسید کلریدریک

چنگیز دهقانیان\* و علی شب زنده آذری\*\*

دانشکده مهندسی شیمی، دانشگاه صنعتی اصفهان

مرکز پژوهش‌های علمی و صنعتی تبریز

(دریافت مقاله: ۱۳۷۵/۴/۱۹ - دریافت نسخه‌نهایی: ۱۳۷۵/۱۱/۲۸)

چکیده - تأثیرپذیری فورفورال به عنوان بازدارنده آلی در محلول ۵ درصد اسید کلریدریک که در اسید شویی فولاد به کار می‌رود، بررسی و مطالعه شد. ایزوترمهای فرایند جذب لنگمویر، فرامکین و فلوری - هوگینس [۱ و ۲] برای جذب فورفورال بر سطح فولاد و تعیین پارامترهای مؤثر در جذب و همچنین تعیین انرژی آزاد و انتروپی جذب به کار گرفته شدند. فورفورال در دماهای ۵۰، ۶۰ و ۷۰ درجه سانتی گراد در غلظت ۱٪/۰ مول در لیتر بازدارنده‌گی کمتر از ۱۷ درصد را در زمان ۲ ساعت از خود نشان داد. در غلظت ۱٪/۰ مول در لیتر و در دمای ۷۰ درجه سانتی گراد فولاد را تا حدود ۹۰ درصد در محلول ۵ درصد اسید کلریدریک حفاظت کرد. جذب فورفورال در سطح فولاد از ایزوترم لنگمویر تبعیت می‌کند.

## Investigation of Furfural as Corrosion Inhibitor in Hydrochloric Acid Solution

Ch. Dehghanian, and A. Shabzende Azari

Department of Chemical Engineering, Isfahan University of Technology  
Tabriz Research Organization

**ABSTRACT-** Effectiveness of furfural as an organic inhibitor in 5 percent hydrochloric acid which is used in

\* دانشیار      \*\* کارشناس ارشد

acid pickling of steel was evaluated. Lungmuir, Frumkin and Flory-Huggins isotherms [1, 2] were used to determine the parameters of effective adsorption, free energy and entropy of adsorption. furfural indicated an inhibition less than 17 percent in concentrations of 0.001 mole per liter for a duration of two hours at temperatures of 50, 60 and 70 degrees centigrade. Steel was protected up to 90 percent in concentration of 0.08 mole per liter at temperature of 70 degrees centigrade in 5 percent hydrochloric acid solution. Adsorption of furfural on the steel surface obeyed lungmuir isotherm.

منفی باشد کاتیونها جذب آن می‌شوند. بازدارنده‌های مولکولی در هر دو مورد جذب می‌شوند. براؤن [۵] تأثیر طول زنجیر کربن را در بازدارنده‌گی آمینه‌های خطی مورد مطالعه قرار داده است. او مشخص کرد که با افزایش طول زنجیر، بازدارنده‌گی بهبود می‌یابد. بازدارنده‌گی مواد استیلیتی در طول زنجیر کربن ۶ الی ۱۰ رابطهٔ مستقیمی با طول زنجیر کربن ندارد.

- ایزوترمهای فرایند جذب لنگموری، فرامکین و فلوری - هوگینس برای جذب فورفورال بر سطح فولاد و تعیین پارامترهای مؤثر در جذب به کار گرفته شده‌اند. از ایزوترم فرامکین که به صورت زیر ارائه می‌شود:

$$f(z, a) = \frac{z}{1-z} \exp(-az) = \frac{C}{55.5} (-\Delta G^\circ / RT) \quad (1)$$

می‌توان مقدار پارامتر کنش جانبی را تعیین کرد، که  $z$  درصد بازدارنده‌گی بازدارنده،  $a$  پارامتر کنش جانبی و  $\Delta G^\circ$  انرژی گیبس فرایند جذب،  $C$  غلظت بازدارنده،  $R$  ثابت گازها و  $T$  دمای مطلق است. برای تعیین پارامتر کنش جانبی، شب منحنی حاصل برابر با:

$$\frac{1}{55.5} \exp(-\Delta G^\circ / RT)$$

است. در صورتی که مقدار پارامتر کنش جانبی درست انتخاب شده باشد، در این صورت شب منحنی مقداری ثابت خواهد داشت. برای تعیین پارامتر اندازه از ایزوترم فلوری - هوگینس استفاده می‌شود که به صورت زیر ارائه می‌شود:

$$\ln \frac{z}{e^{1-x} \cdot (1-z)^x} = \frac{-\Delta G^\circ}{RT} - \ln \left( \frac{C}{55.5} \right) \quad (2)$$

۱- مقدمه بازدارنده‌ها مواد شیمیایی هستند که برای جلوگیری از خوردگی فلزات مخصوصاً فولاد در محیط‌های اسیدی، قلیایی و خشی به کار می‌روند. یکی از امتیازهای این مواد آن است که با اضافه کردن مقدار کمی از آنها به محلول خورنده، سرعت خوردگی فولاد را به مقدار قابل توجهی کاهش می‌دهند [۳]. بازدارنده‌های متفاوتی در بازار موجود است که مکانیزم عملکرد آنها برای جلوگیری از خوردگی متفاوت است. در محیط‌های اسیدی معمولاً از بازدارنده‌های آلی که خاصیت جذب در سطح را داشته باشند استفاده می‌شود. بازدارنده‌های آلی به سه طریق عمل می‌کنند: بعضی در مناطق کاتدی سطح فلز جذب می‌شوند و سرعت خوردگی را کاهش می‌دهند، بعضی در مناطق آندی سطح فلز جذب شده و بدین وسیله سرعت خوردگی را کاهش می‌دهند و دسته سوم در هر دو نوع مناطق کاتدی و آندی سطح فلز جذب شده و از خوردگی فلز جلوگیری می‌کنند. فرایند جذب و عوامل مؤثر بر آن از پارامترهای مهم در تشخیص میزان بازدارنده‌گی بازدارنده‌های آلی در محیط‌های اسیدی است. اولین شرط بازدارنده‌گی، جذب بازدارنده بر روی سطح نمونه فلزی است. پیش‌بینی کردن آنکه بر روی یک فلز معین، کدام ماده و در چه پتانسیلی توانایی جذب شدن را دارد از اهمیت بالایی برخوردار است. اگر جذب از طبیعت الکترواستاتیک برخوردار باشد، در این صورت جذب به بار روی فلز و بازدارنده بستگی پیدا خواهد کرد. بنابراین با دانستن خواص الکتریکی فلز و بازدارنده می‌توان نوع ترکیباتی را که قابلیت جذب روی سطح فلز در پتانسیل خوردگی را دارند حدس زد.

برای تعیین بار روی سطح فلز حین خوردگی، پتانسیل خوردگی را با پتانسیل بار-صفر مقایسه می‌کنند [۴]. در صورتی که بار سطح مثبت باشد، آنیونها جذب فلز خواهند شد و اگر بار روی سطح فلز

جدول ۱- درصد ترکیبات فلز فولاد به کار رفته در آزمایشها

| درصد وزنی | ترکیبات |
|-----------|---------|
| ۰/۰۳۳۹    | Cu      |
| ۰/۰۰۴۸    | W       |
| ۰/۰۰۲۱    | Ti      |
| ۰/۰۱۱۲    | Sn      |
| ۰/۰۰۲۲    | Co      |
| ۰/۰۰۳۵    | Al      |
| ۰/۰۶۴     | P       |
| ۰/۰۰۰۱    | Ca      |
| ۰/۰۰۲۵    | Zn      |
| ۰/۰۷۸۲    | C       |
| ۰/۲۳۲۵    | Si      |
| ۰/۰۲۰۹    | S       |
| ۰/۰۱۶۲    | P       |
| ۰/۰۲۴۸    | Mn      |
| ۰/۰۲۱۸    | Ni      |
| ۰/۰۴۵۹    | Cr      |
| ۰/۰۰۳     | Mo      |
| ۰/۰۰۱۵    | V       |

اسید قرار داده تا با هوا و رطوبت تماس پیدا نکند که باعث اکسید شدن آن شود [۶، ۷، ۴].

## ۲-۴ روش اندازه گیری سرعت خوردگی

دو روش در این آزمایشها برای بررسی و مطالعه تأثیر فورفورال بر خوردگی فولاد در محیط اسیدی انتخاب شدند: ۱- روش وزن سنجی و ۲- روش الکتروشیمیایی.

روش وزن سنجی ساده ترین روش‌های اندازه گیری سرعت خوردگی فولاد در محیط‌های اسیدی است. در اغلب موارد سرعت به دست آمده از این روش بیشتر از سرعت خوردگی به دست آمده از روش‌های الکتروشیمیایی است. خطایی که در روش وزن سنجی می‌تواند وجود داشته باشد مربوط به باقی ماندن محصولات واکنشهای کاتدی، یا جذب بازدارنده روی سطح الکترود است که

۸ پارامتر اندازه است و مقدار آن باید طوری انتخاب شود تا تغییرات انرژی گیس ناشی از تغییرات درجه پوشش سطح را جبران کند و همچنین فرض مستقل بودن  $\Delta G^\circ$  نسبت به درجه پوشش سطح را برآورده سازد.

امروزه بازدارنده‌های متعددی برای محیط‌های مختلف ساخته شده که با نامهای تجاری به بازار عرضه شده است اما اکثر آنها گرانقیمت بوده و مبالغه زیادی ارز را به خود اختصاص می‌دهند که در بعضی مواقع دسترسی به آنها برای بعضی صنایع اگر ناممکن نباشد مشکل است. هدف اصلی این مطالعه یافتن بازدارنده‌ای است که بتواند در داخل کشور سنتز شده و مواد اولیه آن نسبتاً فراوان و ارزان باشد. مطالعات زیادی انجام شده و نهایتاً ماده‌ای به نام فورفورال در آزمایشگاه سنتز شده و آزمایش‌های متعددی برای یافتن خاصیت بازدارنده‌گی این ماده در محیط اسید کلریدریک ۵ درصد که در اسید شوینی فولاد از آن استفاده می‌شود انجام شد. فورفورال از این جهت مورد توجه قرار گرفت که قابلیت جذب شیمیایی برروی سطح نمونه فولادی را داشت. فورفورال در داخل کشور قابل تهیه بوده و ماده اولیه آن به هر مقدار در دسترس است.

در این تحقیق برای مطالعه و بررسی تأثیر فورفورال برخوردگی فولاد در محیط اسیدی از دو روش استفاده شد: ۱- روش وزن سنجی و ۲- روش الکتروشیمیایی که در بخش روش‌های آزمایش در مورد آنها به طور کامل شرح داده خواهد شد.

## ۲- روش‌های آزمایش

### ۱- جنس و آماده سازی نمونه

تحلیل شیمیایی نمونه‌های فولادی استفاده شده در آزمایشها در جدول (۱) نشان داده شده است. نمونه‌ها به صورت قرصی به ضخامت ۳ و قطر ۱۵/۵ میلیمتر بودند. این نمونه‌ها قبل از هر آزمایش با کاغذ سمباده از شماره ۸۰ الی ۱۰۰۰ پرداخت داده شدند و سپس توسط پودر آلومینیا براق شدند.

برای جلوگیری از اکسید شدن سطح نمونه بعد از فرایند براق کردن، نمونه‌ها را با الکل آبگیری کرده و با هوای گرم کاملاً خشک شدند. در صورت وجود چربی در سطح نمونه‌ها، آنها با استون تمیز شدند. برای این عمل، نمونه به مدت ده دقیقه در استون قرار داده شد و سپس با هوای گرم خشک شد. بعد از مراحل بالا نمونه را در

روش دوم اندازه‌گیری سرعت خوردگی فولاد از طریق روش‌های الکتروشیمیایی بود. مزیتی که این آزمایشها بر روشن وزن سنجی داشت این بود که زمان اندازه‌گیری نسبتاً کوتاه، دقت بالا و نشان دادن سرعت خوردگی به طور پیوسته انجام می‌گرفت. روش‌های الکتروشیمیایی انتخاب شده برای تعیین سرعت خوردگی نمونه شامل:

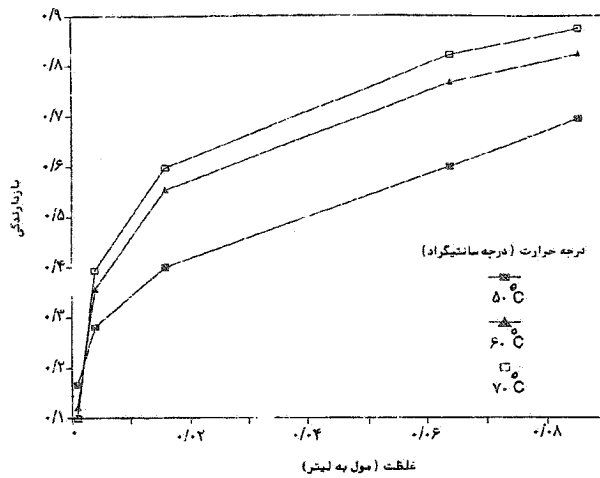
۱- پلاریزاسیون خطی [۸] ، ۲- روش تافل و ۳- روش چهار نقطه [۹] هستند. در روش چهار نقطه، جریانهایی از روی منحنی پلاریزاسیون خطی در  $\Delta E$ ،  $2\Delta E$  و  $-2\Delta E$  خوانده می‌شود و در فرمولی که در مرجع [۹] آمده است گذاشته شده و مقدار سرعت خوردگی محاسبه می‌شود. منحنیهای پلاریزاسیون با سرعت اسکن  $0/0$  میلی ولت بر ثانیه از پتانسیل مدار باز به دست آمده‌اند. در پلاریزاسیون خطی پتانسیل از  $-20$  تا  $+20$  میلی ولت اسکن شده‌اند.

در آزمایش‌های الکتروشیمیایی از دستگاه پتانشیوستات ساخته شده در ایران و الکترود کمکی از جنس گرافیت، الکترود مرجع کالولمل و الکترود نمونه فولادی استفاده شدند. برای تهیه محلول ابتدا بازدارنده را داخل سل ریخته و سپس اسید به آن اضافه شد، این کار باعث شد که همزن به کار گرفته نشود. تکرار پذیری همه آزمایشها بررسی شده است.

### ۳- نتایج و بحث درباره آنها

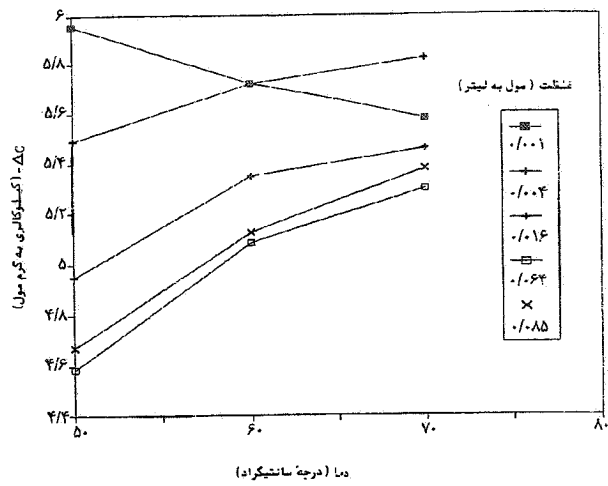
#### ۱-۳ نتایج وزن سنجی

شکل (۱) بازدارنده‌گیری فورفورال را بر حسب غلظت آن در دماهای مختلف در اسید کلریدریک ۵ درصد نشان می‌دهد. این ماده با غلظت  $4/000$  مول در لیتر در هر سه دمای  $50^{\circ}\text{C}$ ،  $60^{\circ}\text{C}$  و  $70^{\circ}\text{C}$  درجه سانتی گراد فولاد را تا حدود  $90$  درصد حفاظت کرد. در این شکل منحنیهای مربوط به دماهای  $60^{\circ}\text{C}$  و  $70^{\circ}\text{C}$  درجه سانتی گراد خطی اند و شبیه این دو خط مساوی است. منحنی مربوط به دمای  $50^{\circ}\text{C}$  درجه سانتی گراد اندکی از این دو منحنی متفاوت است. در حالت کلی با توجه به این منحنیها می‌توان دریافت که جذب از نوع لنگمویری بوده و فورفورال به صورت یک لایه‌ای جذب سطح شده است و

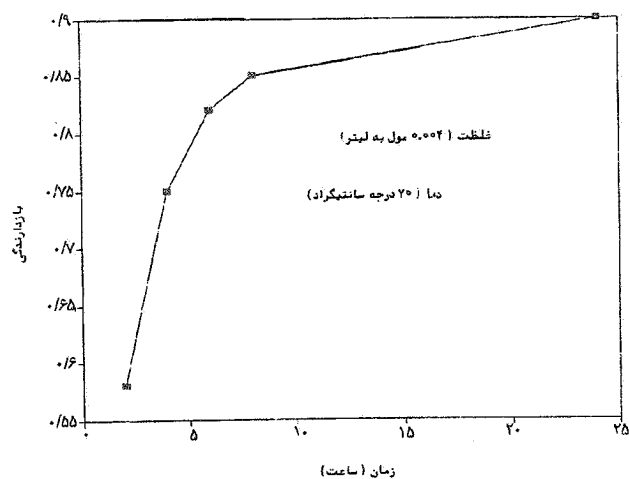


شکل ۱- بازدارنده‌گیری فورفورال بر حسب غلظت آن در محلول اسید کلریدریک ۵ درصد و در دماهای مختلف

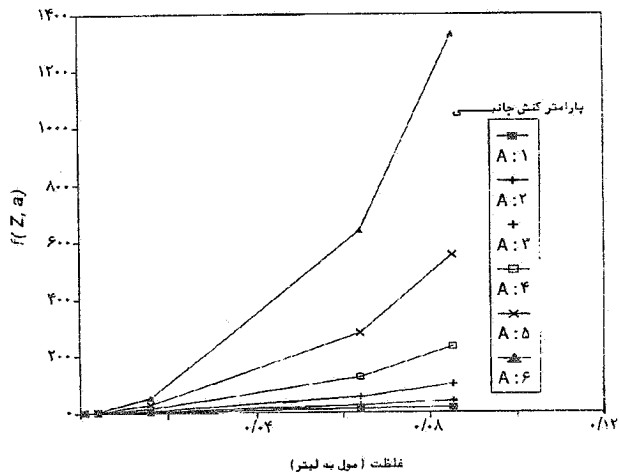
خوشبختانه در محیط‌های اسیدی هیچ لایه‌ای از محصولات واکنش کاتدی روی سطح باقی نمی‌ماند. در این روش از شش سل خوردگی به طور همزمان استفاده شد. برای کنترل دما، سلهای در حمام آب قرار داده شدند. حجم اسید داخل هر سل  $100$  میلی متر و سطح الکترود که در معرض اسید قرار گرفته یک سانتی متر مربع انتخاب شد. مزیتی که این تعداد سل داشت این بود که در شش غلظت متفاوت از بازدارنده در شرایط یکسان از نظر دما به طور همزمان آزمایش شدند. سرعت خوردگی شدیداً تابعی از دماست، لذا یکسان بودن شرایط دما باعث بالارفتن دقت نتایج شد. در دماهای بالاتر از  $60^{\circ}\text{C}$  سانتی گراد کنترل دما مشکلاتی در برداشت، چون نمونه و نگهدارنده نمونه در دمای محیط بودند و موقعی که در معرض اسید  $70^{\circ}\text{C}$  درجه سانتی گراد قرار می‌گرفتند نمونه به تدریج گرم می‌شد که در تیجه دمای آزمایش با دمای اسید برابر نبود. این مسئله زمانی که آزمایش‌های زمانی مدنظر بودند بیشتر خطای ایجاد می‌کرد. برای رفع این مشکل نمونه و نگهدارنده آن، قبل از آزمایش به دمای حدود اسید گرم شدند. در روش وزن سنجی، زمان آزمایش  $2$  ساعت انتخاب شد. در زمانی که بررسی تغییرات سرعت خوردگی نسبت به زمان مدنظر بود آزمایش با دوره‌های زمانی دو ساعته ادامه یافت. بعد از اتمام آزمایش نمونه بیرون آورده شد و با آب دوبار تقطیر شده، شسته شد و بعد از خشک کردن وزن شد.



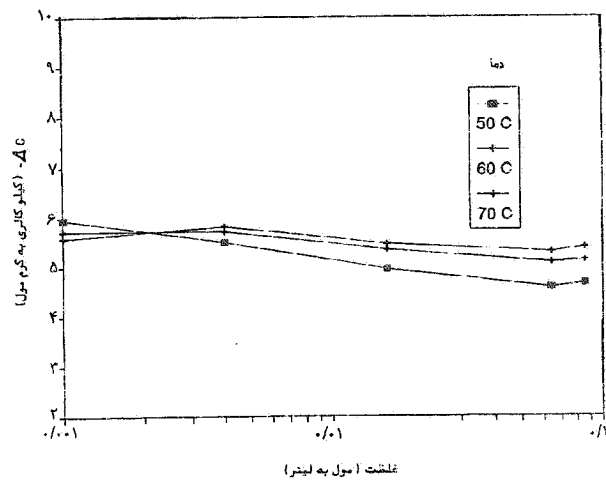
شکل ۴- انرژی گیبس که از ایزووترم لنگمویر بر حسب دما در غلظتها مختلف فورفورال محاسبه شده است



شکل ۲- بازدارندگی فورفورال بر حسب زمان



شکل ۵- مقدار  $f(z, a)$  بر حسب غلظت فورفورال در دمای ۷۰ درجه سانتی گراد



شکل ۳- مقدار انرژی گیبس فرایند جذب که از ایزووترم لنگمویر بر حسب غلظت فورفورال محاسبه شده است

شکل (۳) مقدار انرژی گیبس فرایند جذب را که از ایزووترم لنگمویر محاسبه شده است بر حسب غلظت فورفورال نشان می دهد. با صرف نظر کردن از غلظتها پاییتر از  $4 \times 10^{-4}$  مول در لیتر، مشاهده می شود که با افزایش غلظت فورفورال، انرژی گیبس فرایند جذب کم شده است که به معنی کاهش تمایل مولکول فورفورال برای جذب روی سطح الکترود است.

شکل (۴) انرژی گیبس فرایند را که از ایزووترم لنگمویر محاسبه شده است بر حسب دما در غلظتها مختلف فورفورال نشان می دهد. با افزایش دما انرژی گیبس جذب افزایش یافته است و

نتیجتاً می توان از ایزووترمهای لنگمویر، فرامکین و فلوری - هوگینس برای محاسبه برخی پارامترهای فرایند جذب استفاده کرد. لازم به یادآوری است که ایزووترمهای فرامکین و فلوری - هوگینس  $\Delta G^\circ$  را مقداری ثابت فرض کرده و پارامترهای کنش جانبی و اندازه زمان و در دمای ۷۰ درجه سانتی گراد در غلظت  $4 \times 10^{-4}$  مول در لیتر نشان می دهد. چنانکه مشاهده می شود با گذشت زمان شیب منحنی کمتر می شود. بازدارندگی فورفورال را بر حسب ۲۶ ساعت به ۹۰ درصد رسید.

جدول ۲- انرژی گیبس فرایند جذب که از ایزوترم

لنگمویر محاسبه شده است

| انرژی گیبس (Kcal/mol) | دما (°C) |
|-----------------------|----------|
| ۴/۹۲۵                 | ۵۰       |
| ۵/۳۲۲                 | ۶۰       |
| ۵/۴۹۴                 | ۷۰       |

جدول ۳- انرژی گیبس فرایند جذب که از ایزوترم

فرامکین محاسبه شده است

| پارامترکنش | انرژی گیبس | دما (°C) | جانبی | (Kcal/mol) |
|------------|------------|----------|-------|------------|
| A:۱        | -۱         | ۵۰       |       | ۵/۲۴۱      |
| A:۲        | -۱         | ۶۰       |       | ۵/۸۹۹      |
| A:۳        | -۱         | ۷۰       |       | ۹/۲۹       |

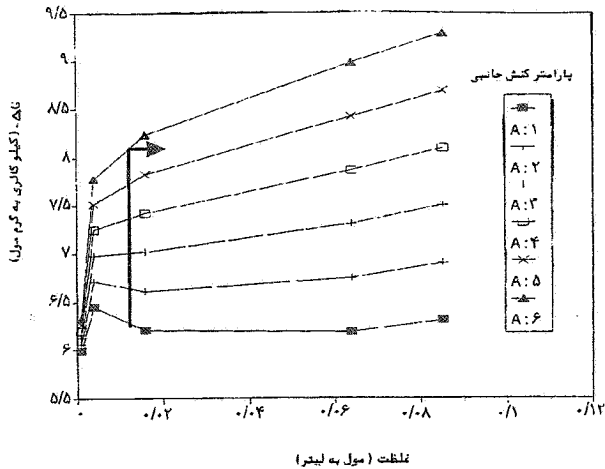
جدول ۴- مقادیر انرژی گیبس فرایند جذب که از ایزوترم

فلوری - هوگینس محاسبه شده است

| پارامترکنش | انرژی گیبس | دما (°C) | جانبی | (Kcal/mol) |
|------------|------------|----------|-------|------------|
| A:۱        | ۱          | ۵۰       |       | ۴/۹۲۵      |
| A:۲        | ۱          | ۶۰       |       | ۵/۳۲۲      |
| A:۳        | ۱          | ۷۰       |       | ۵/۴۹۴      |

برای غلظتهاي بالاتر از  $۰/۰/۰$  مول در لیتر از فورفورال و پارامتر اندازه معادل يك،  $\Delta G^\circ$  تقریباً ثابت است و با نتایج حاصل از آزمایش مطابقت دارد. پارامترهاي اندازه بزرگتر از يك، موجب انحراف زیادتر در انرژی گیبس می شوند.

جدول (۴) مقادير انرژی گیبس فرایند جذب را که از ایزوترم فلوری - هوگینس در دماهای مختلف محاسبه شده نشان می دهد. در این جدول با افزایش دما انرژی گیبس افزایش یافته است. همان طور که که در جدولهای (۲ و ۴) مشاهده می شود زمانی که در ایزوترم فلوری - هوگینس مقدار پارامتر اندازه يك باشد به ایزوترم لنگمویر تبدیل می شود. شکل (۶) انرژی گیبس را که از ایزوترم لنگمویر (جدول ۲) و ایزوترم فرامکین (جدول ۳) محاسبه شده است



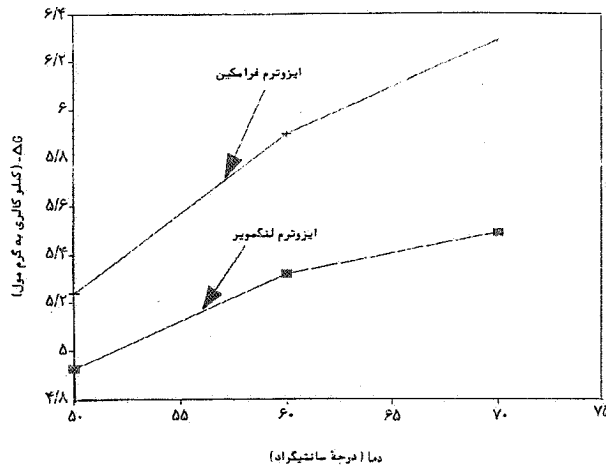
شکل ۶- انرژی گیبس که از ایزوترم فرامکین بر حسب غلظت فورفورال برای پارامترهای کنش جانبی مختلف محاسبه شده است.

تمایل بازدارنده به جذب بر روی سطح الکترود افزایش یافته است. جدول ۲ انرژی گیبس به دست آمده از ایزوترم لنگمویر را نشان می دهد.

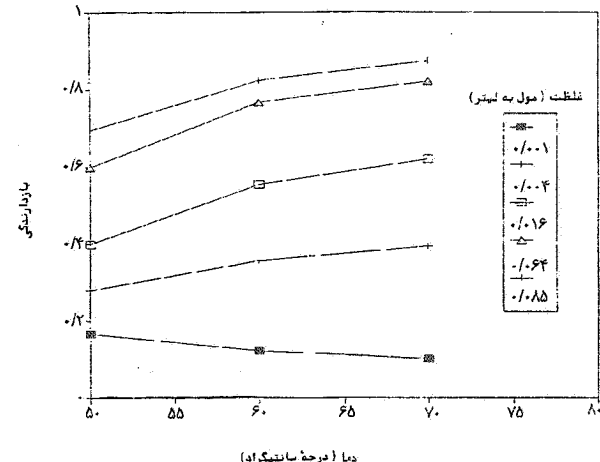
در شکل (۵) مقدار  $f(Z, a)$  از معادله (۱) که در مقدمه ارائه شد بر حسب غلظت فورفورال در دمای  $۷۰$  درجه سانتی گراد رسم شده است. همان طوری که مشاهده می شود منحنی مربوط به پارامتر کنش جانبی یک خط راست است. بنابراین پارامتر کنش جانبی این فرایند یک است.

شکل (۶) انرژی گیبس را که از ایزوترم فرامکین محاسبه شده است بر حسب غلظت فورفورال برای پارامترهای کنش جانبی مختلف نشان می دهد. دما  $۷۰$  درجه سانتی گراد است. همان طور که دیده می شود بعد از خطی که توسط فلش مشخص شده، به ازای مقدار عددی پارامتر کنش جانبی برابر یک مقدار انرژی گیبس فرایند جذب مقادیر تقریباً ثابتی دارد.

جدول (۳) مقادير انرژی گیبس را که از ایزوترم فرامکین در دماهای مختلف محاسبه شده داده است. با افزایش دما انرژی گیبس نیز افزایش یافته است که نشانگر تمایل جذب بیشتر بازدارنده بر روی سطح با افزایش دماست. شکل (۷) این روند را تأیید می کند. شکل (۸) مقادير انرژی گیبس فرایند جذب را بر حسب لگاریتم غلظت فورفورال در دمای  $۷۰$  درجه سانتی گراد و مقادير مختلف پارامتر اندازه که از معادله (۲) محاسبه شده است نشان می دهد. این ایزوترم



شکل ۹- انرژی گیبس که از ایزوترم لنگمویر (جدول ۲) و ایزوترم فرامکین (جدول ۳) بر حسب دما محاسبه شده است

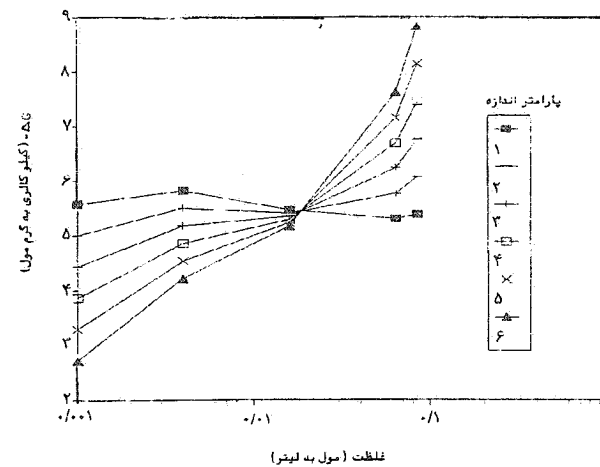


شکل ۷- بازدارندگی فورفورال بر حسب دما در غلظتها مختلف فورفورال در محلول اسید کلریدریک ۵ درصد

| جدول ۵- انتروپی جذب براساس ایزوترمهای لنگمویر و فرامکین |                    |
|---|--------------------|
|   | انتروپی (Kcal/mol) |
| ایزوترم   | ۰/۰۲۸۵             |
| لنگمویر   | ۰/۰۵۲۹             |
| فرامکین   |                    |

کنش جانبی، طبق ایزوترم فرامکین بین مولکولهای جذب شده نیروی دافعه‌ای وجود دارد ولی در ایزوترم لنگمویر فرض بر این است که مولکولهای جذب شده اثری برهم ندارند. بنابراین از دید ایزوترم لنگمویر، مولکولها از نظم بیشتری روی سطح برخوردارند.

۲-۳ نتایج از روش‌های الکتروشیمیایی  
غلظتهايی از فورفورال که در آزمایشهاي الکتروشیمیایی استفاده شدند شامل  $0/001$ ,  $0/004$ ,  $0/016$ ,  $0/064$  و  $0/16$  مول در لیتر بودند.  
شکلهای (۱۰ و ۱۱) منحنیهای پلاریزاسیون فولاد در غلظتها مختلف فورفورال در اسید کلریدریک ۵ درصد را نشان می‌دهند.  
فورفورال با غلظت  $0/001$  و  $0/004$  مول در لیتر بیشتر برروی منحنی پلاریزاسیون کاتدی اثر گذاشته است و از غلظت  $0/016$  مول در لیتر برروی هر دو منحنی های آندی و کاتدی به طور قابل توجهی اثر گذاشته است.  
جدول (۶) نتایج حاصل از شکلهای (۱۰ و ۱۱) را نشان می‌دهد.  
جدول (۷) نتایج حاصل از منحنیهای پلاریزاسیون فولاد در حضور



شکل ۸- انرژی گیبس فرایند جذب بر حسب غلظت فورفورال در مای ۷۰ درجه سانتی گراد و مقادیر مختلف پارامتر اندازه

بر حسب دما نشان می‌دهد. با توجه به رابطه ترمودینامیکی

$$\Delta G = \Delta H - T\Delta S \quad (۴)$$

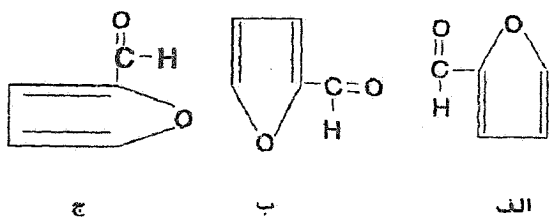
شبیب خطوط در شکل بالا مقدار تغییرات انتروپی جذب است. مقدار این انتروپی براساس ایزوترمهای لنگمویر و فرامکین در جدول (۵) داده شده است. مقادیر این انتروپی برای این دو ایزوترم اختلاف قابل توجهی را نشان می‌دهد. با توجه به مقادیر پارامتر

جدول ۶- نتایج حاصل از منحنیهای پلاریزاسیون فولاد در حضور فورفورال

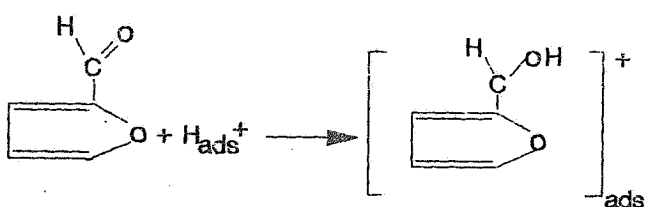
| آزمایش | غلظت g/lit | شیب تافل (mv) | ساعت خوردگی mA/m <sup>2</sup> | *پتانسیل بازدارندگی mv | مقاومت پلاریزاسیون Ω/cm <sup>2</sup> |
|--------|------------|---------------|-------------------------------|------------------------|--------------------------------------|
| ۱      | ۰/۰۰۱      | ۱۹            | ۱/۲۲                          | ۰/۴۵                   | ۱۶/۶                                 |
| ۲      | ۰/۰۰۴      | ۱۸            | ۱/۱                           | ۰/۵۱                   | ۱۵/۵                                 |
| ۳      | ۰/۰۱۶      | ۱۲            | ۰/۶۷۸                         | ۰/۶۹                   | ۴۰                                   |
| ۴      | ۰/۰۶۴      | ۱۵            | ۰/۲۸۵                         | ۰/۸۷                   | ۹۰/۹                                 |

\* بر حسب الکترود کالومل

مول در لیتر فورفورال و در زمانهای ۰/۵، ۰/۱۶ و ۰/۸ ساعت نشان می‌دهد. همان طوری که مشاهده می‌شود در این غلظت از فورفورال در اسید کلریدریک ۵ درصد، زمان تأثیر چندانی در رفتار منحنیهای پلاریزاسیون آندی و کاتدی نمی‌گذارد. با توجه به نتایج ارائه شده و ساختمان گسترده فورفورال، مکانیزم پیشنهادی و ممکن برای جذب فیزیکی فورفورال روی فولاد می‌تواند به صورت زیر باشد.



مقدار پارامتر اندازه که از ایزوترم فلوری - هوگینس محاسبه شده یک است. این به این معناست که یک مولکول فورفورال با یک مولکول آب موجود در لایه متراکم لایه مضاعف جایگزین شده است. با توجه به مکانیزم پیشنهادی بالا اگر فورفورال به شکل (الف) جذب سطح شود تعداد مولکولهای آب جابه جا شده بیشتر از یک خواهد بود پس فورفورال با توجه به ایزوترم فلوری - هوگینس نمی‌تواند به شکل (الف) جذب شود و به همین دلیل به شکل (ب) نیز ممکن نخواهد بود. واکنش الکتروشیمیایی فورفورال می‌تواند به صورت زیر انجام شود:

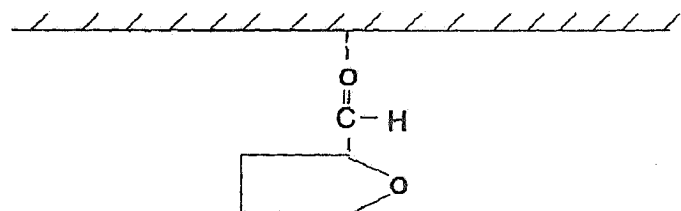


جدول ۷- اطلاعات حاصل از روش چهار نقطه

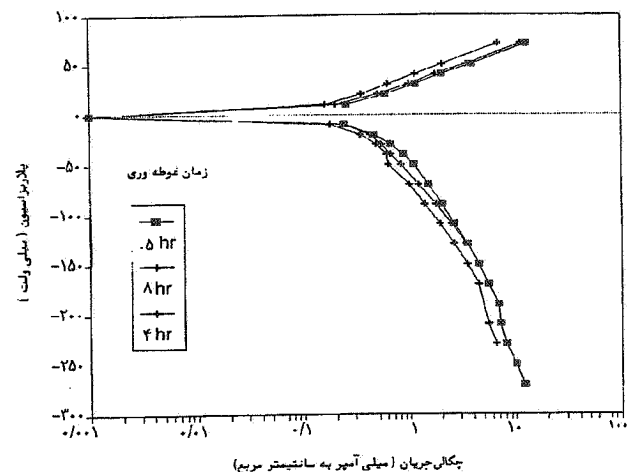
| آزمایش | غلظت g/lit | p     | %Z    |
|--------|------------|-------|-------|
| ۱      | ۰/۰۰۱      | ۰/۶۸۲ | ۰/۴۸  |
| ۲      | ۰/۰۰۴      | ۰/۶۷۸ | ۰/۵   |
| ۳      | ۰/۰۱۶      | ۰/۸۱  | ۰/۷۵  |
| ۴      | ۰/۰۶۴      | ۱/۰۵  | ۰/۹۲۷ |

فورفورال است که بر اساس محاسبات روش چهار نقطه به دست آمده‌اند. در این جدول p پارامتری است که از محاسبات روش چهار نقطه به دست آمده و تعیین کننده نوع بازدارندگی است. مثلاً در غلظتهای از ۰/۰۱۶ تا ۰/۰۱۶ مول در لیتر فورفورال در اسید کلریدریک ۵ درصد به طور کاتدی جذب می‌شود چون  $p = 1$  است و در غلظت ۰/۰۶۴ مول در لیتر چون  $p = 4$  است که می‌توان  $p \approx 1$  گرفت و نتیجه گرفت که جذب به طور مخلوط انجام می‌شود یعنی بازدارنده هم در سطوح آندی و هم کاتدی جذب می‌شود. Z در این جدول فاکتور بازدارندگی است. در این تحقیق بازدارندگی فورفورال با استفاده از روش‌های مختلف و بر اساس منحنیهای پلاریزاسیون محاسبه شده است. شکل (۱۲) پتانسیل خوردگی را بر حسب غلظت فورفورال نشان می‌دهد. با افزایش غلظت، پتانسیل به طور جزیی به سمت پتانسیلهای مثبت حرکت می‌کند، اما دامنه تغییرات در حدود ۱۰ میلی ولت است. بنابراین ماهیت سطح نمونه عرض نشده است [۱۰]. شکل (۱۳) منحنیهای پلاریزاسیون فولاد را در حضور ۰/۰۱۶ مول فورفورال نشان می‌کند، اما دامنه تغییرات در حدود ۱۰ میلی ولت است.

در واکنش بالا باید گروه آلدئیدی جذب سطح شود. با توجه به مقدار پارامتر اندازه حاصل از ایزوتروم فلوری - هوگینس این عمل منطقی به نظر می‌رسد. با توجه به مطالب بالا شکل جذب فورفورال روی سطح فولاد می‌تواند به صورت زیر باشد.



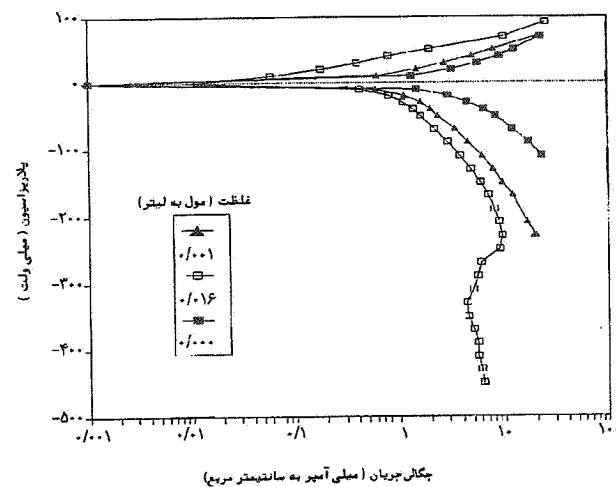
شکل ۱۲- پتانسیل خوردنگی بر حسب غلظت فورفورال در محلول اسید کلریدریک ۵ درصد



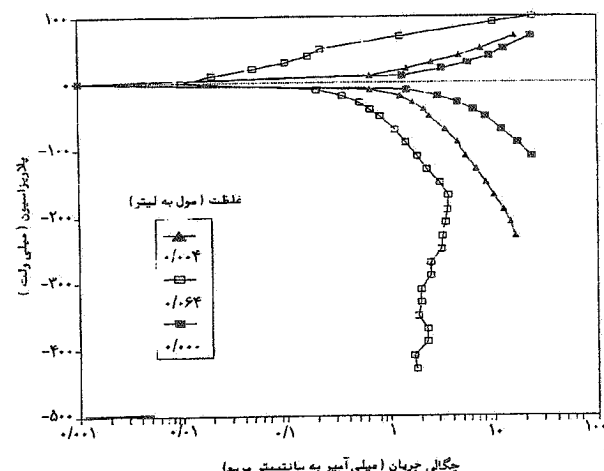
شکل ۱۳- منحنیهای پلاریزاسیون آندی و کاتدی نمونه‌ها در حضور ۱۶٪ مول در لیتر فورفورال و در زمانهای مختلف

#### ۴- نتیجه گیری

- ۱- فورفورال در غلظت ۰.۰۸ مول در لیتر و در دمای ۷۰ درجه سانتی گراد فولاد را تا حدود ۹۰ درصد در محلول اسیدی کلریدریک ۵ درصد حفاظت می‌کند.
- ۲- جذب فورفورال در سطح فولاد از ایزوتروم لنگمویر تعیت می‌کند.
- ۳- با افزایش دمای محلول اسید و فورفورال اثری آزاد افزایش می‌یابد که نشان دهنده جذب بیشتر فورفورال در سطح است.



شکل ۱۰- منحنیهای پلاریزاسیون آندی و کاتدی نمونه‌ها در غلظتهای مختلف فورفورال در محلول اسید کلریدریک ۵ درصد



شکل ۱۱- منحنیهای پلاریزاسیون آندی و کاتدی نمونه‌ها در غلظتهای مختلف فورفورال در محلول اسید کلریدریک ۵ درصد

۵- فورفورال در غلظت کم کاتدی عمل کرده و در غلظتهای بالا روی فرایند آندی نیز اثر قابل ملاحظه‌ای دارد. بازدارندگی فورفورال با گذشت زمان افزایش می‌یابد.

۴- نهایتاً فورفورال را می‌توان به عنوان بازدارنده مناسب برای استفاده در محیط اسید کلریدریک مورد استفاده در اسید شوبی به کار برد.

## مراجع

1. Lantropov, L. I., *Theoretical Electrochemistry*, 2nd ed. Mir publisher, Moscow, 1977.
2. Frumkin, A. N., *Fundamental Problems of Modern Electrochemistry*, 3rded. Mirpublisher, Moscow, 1989.
3. Hausler, R. H., *Corrosion Inhibition*, NACE, Dallas, Texas, 1983.
4. Banergee, G. and Malhotra, S. N., "Contribution to Adsorption of Aromatic Amines on Mild Steel Surface from HCL Solution by Impedance, UV and Raman Spectroscopy," *Corrosion Science*, Vol. 48, pp. 10-15, 1992.
5. Braun, R.D., et. al., "Low Molecular Weight Straight-Chain Amines as corrosion Inhibitor," *Corrosion Science*, Vol. 48, pp. 1251-1257, 1992.
6. Agrawal, R., et. al., "The Effect of Sulfuric Acid Corrosion of 410 ss by Thiorea," *Corrosion Science*, Vol. 34, pp. 37-52, 1990.
7. Saber, T. M. H., et. al., "Dibutyl Thiorea as Corrosion Inhibitors for Acid Washing of Multistage Flash Distillation Plant," *British Corrosion Journal*, Vol. 27, pp. 139-143, 1992.
8. Sykes, J. M., "25 years of Progress in Electrochemical Methods," *British Corrosion Journal*, Vol. 25, pp. 175-183, 1990.
9. Jankowski, J., and Juchniewic, Z., "A Four-Point Method for Corrosion Rate Determination," *Corrosion Science*, Vol. 20, pp. 841-851, 1980.
10. Chandra Sekara Pillai, K., et. al., "The Corrosion of Mild Steel in O, 0.1M, 1M, 3M HCl," *Corrosion Science*, Vol. 22, pp. 13-19, 1982.